

УДК 542.943.7

Катализитические системы производства водорода для топливных элементов с одновременным извлечением углекислого газа из реакционной среды

Б. Н. ЛУКЬЯНОВ, А. И. ЛЫСИКОВ, А. Г. ОКУНЕВ

*Институт катализа им. Г. К. Борескова Сибирского отделения РАН,
проспект Академика Лаврентьева, 5, Новосибирск 630090 (Россия)*

E-mail: lukjanov@catalysis.ru

(Поступила 02.09.09; после доработки 29.10.09)

Аннотация

Описаны основные катализитические процессы и типы топлив в производстве водорода для низкотемпературных топливных элементов с одновременным извлечением углекислого газа из реакционной среды. Рассмотрены типы адсорбционных реакторов, применяемых в абсорбционно-катализитической конверсии (АКК) со сдвигами давления или температуры, а также с мембранный сепарацией водорода. Даны описания новых регенеративных мембранных систем: адсорбент-мембранный реактора и системы жизнеобеспечения в космосе. Оценены перспективы использования АКК в водородной энергетике.

Ключевые слова: водород, процесс адсорбции со сдвигом давления и/или температуры, абсорбционно-катализитическая конверсия, топливный процессор, реактор, топливный элемент, катализатор, адсорбент, патенты, обзоры

Оглавление

Введение.....	115
Катализитические процессы получения водорода и реакторы конверсии	116
Типы топлива	116
Процессы (внешней) конверсии и варианты очистки H ₂ -газа	118
Типичные аппараты топливного процессора с АКК.....	120
Регенеративные мембранные системы жизнеобеспечения в космосе.....	124
Заключение	126

ВВЕДЕНИЕ

Катализитическое производство водорода из водородосодержащих источников, таких как вода, природный газ, нефть и уголь, перспективно для производства электроэнергии с помощью топливных элементов [1, 2]. Водород, в отличие от нефти или природного газа, не может служить источником энергии, так как месторождений водорода на Земле нет. Он может быть энергоносителем, т. е. удобным для перевозки и использования веществом, в котором энергия временно хранится. При комнатной температуре и атмосфере-

ном давлении удельная плотность водорода низкая (0.089 кг/м³). В то же время величина энергии водорода на единицу массы (120 МДж/кг) выше по сравнению со всеми известными видами органического топлива. Конверсия водорода в электроэнергию на месте потребления позволяет избежать потерь при передаче энергии по проводам. Сжигание водорода не сопровождается вредными выбросами метана или углекислого газа. Следует отметить, что водород, используемый в топливных элементах с протонно-обменной мембранный (ПОМТЭ), должен иметь высокую степень чистоты ($C_{CO} \leq 10$ млн⁻¹). Это обуслов-

лено отравлением платиновых электрокатализаторов окисления водорода на аноде в диапазоне рабочих температур ПОМТЭ от 25 до 90 °С.

Известны два основных способа получения водорода: электролиз воды и конверсия природного газа. Получать водород электролизом воды очень дорого, и сегодня в мире этим способом производится всего 4 % водорода. Экономически выгодно получение водорода химическим путем, например, окислением природного газа в синтез-газ: затраты в этом случае меньше в четыре раза по сравнению с электролизом воды. В нашей работе основное внимание уделено производству водорода из углеводородных топлив с помощью процессов адсорбции со сдвигом давления (PSA, pressure swing adsorption) или температуры (TSA, thermal swing adsorption) в топливном процессоре (ТП). Данная технология очень гибкая в отношении сепарации и очистки газовых смесей [3]. В настоящее время в мире действует несколько сотен тысяч установок, в том числе от очень малых ($\approx 0.354 \text{ нм}^3/\text{ч}$, для получения кислорода из воздуха для медицинских целей) до очень больших ($2.83 \cdot 10^6 \text{ нм}^3/\text{ч}$, для производства водорода 99.999 % из паровой конверсии метана и из отходящих газов нефтеперерабатывающих заводов). Концепция PSA для газовой сепарации относительно проста. Определенные компоненты из потока газовой смеси при относительно высоком давлении селективно адсорбируются на микромезопористом твердом адсорбенте, а сам поток при этом очищается. Адсорбированные компоненты далее десорбируются из адсорбента путем снижения их парциального давления внутри реактора, и адсорбент можно использовать повторно. Для десорбции газов обычно не требуется подвода тепла.

Имеется несколько интересных модификаций PSA: а) быстрые циклические PSA (время цикла составляет секунды); б) высокотемпературные циклические PSA (для извлечения CO_2 из горячих и мокрых газов); в) адсорбция со сдвигом в вакуум; г) сорбционно-улучшенные реакционные процессы (АКК) и др.

Абсорбционно-катализитическая конверсия – гибридная технология, в рамках которой контролируемая равновесием реакция протекает в присутствии сорбента, извлекающего нежелательные продукты из реакционной зоны. Со-

гласно принципу Ле Шателье, в данной системе возрастают выход и скорость образования целевого продукта. Далее сорбент регенирируется периодически по принципу PSA или продувкой газом очистки. Производство водорода по технологии АКК представляется наиболее перспективным [4, 5]. Из очищенного от серы природного газа с помощью катализатора паровой конверсии метана (ПКМ) и селективного хемосорбента по извлечению CO_2 в одном реакторе удается получать водород для топливного элемента. Данный процесс был известен еще в 1868 г. [6]. Позже были получены патенты на проведение АКК в реакторе с неподвижным слоем (1933 г.) [7] и с псевдоожженным катализатором (1963 г.) [8]. Тем не менее, концепция АКК не получила дальнейшего развития ввиду низких цен на энергию и трудностей, связанных с обработкой большого количества твердого сорбента. Однако в настоящее время интерес к АКК резко вырос в результате повышения цен на энергию и из-за глобального потепления, вызванного ростом выбросов парникового газа CO_2 [9–19]. Извлечение и запасание CO_2 из топливных и других газов выгодно для проведения таких каталитических процессов, как сухая конверсия метана, газификация углерода (например, регенерация катализатора раз углероживанием), и других новых окислительных процессов, описанных в литературе.

Цель настоящей работы – обзор современного состояния абсорбционно-катализитических процессов производства водорода в адсорбционных реакторах и перспектив их использования в водородной энергетике. По мнению ряда известных ученых, внедрение водородной энергии и энергетики должно стать государственной программой по предупреждению грядущего энергетического кризиса и глобального изменения климата [20].

КАТАЛИТИЧЕСКИЕ ПРОЦЕССЫ ПОЛУЧЕНИЯ ВОДОРОДА И РЕАКТОРЫ КОНВЕРСИИ

Типы топлива

Для производства водорода в топливном процессоре могут быть использованы различные типы топлива: смесь углеводородов или их производных, или собственно нефтяное

топливо, которые в общем виде могут быть описаны формулой C_nH_mO_z. Общая схема преобразования таких топлив в водород представляет собой комбинацию пяти основных реакций: паровой конверсии, каталитического парциального окисления, паровой конверсии CO, селективного окисления CO и реакции метанирования. Последняя реакция нежелательна, поскольку в ней используется полученный в других реакциях водород. В то же время она необходима для снижения концентрации CO до уровня, приемлемого в ПОМ-ТЭ, а также при удалении CO₂ из атмосферы кабины космического аппарата. Указанные реакции могут проводиться одновременно, если тяжелые углеводороды полностью реформированы в низшие алканы и CO вещества. Оставшиеся низшие алканы, включая CH₄, могут в дальнейшем быть конвертированы в синтез-газ или просто окислены для получения энергии, а CO может быть конвертирован в CO₂ по реакции паровой конверсии водяного газа, обеспечивая получение дополнительного количества водорода. Выражение брутто-реакции (топливо → H₂) имеет вид:

$$\text{C}_n\text{H}_m\text{O}_z + y(\text{O}_2 + 3.76\text{N}_2) + 2(n - y - z/2)\text{H}_2\text{O} \rightarrow n\text{CO}_2 + 2(n - y - z/2 + m/4)\text{H}_2 + 3.76y\text{N}_2 \quad (1)$$

где n, m, z – число атомов углерода, водорода, кислорода в C_nH_mO_z; y – соотношение кислород/топливо.

Необходимо отметить, что максимум эффективности в производстве водорода практически не зависит от режима конверсии топлива (паровая конверсия, парциальное окисление, автотермический режим) и достигается в термонейтральной точке [21]. Следовательно, топливный процессор должен работать либо в термонейтральных, либо в слегка экзотермических условиях, т.е. тепловой эффект реакции (1) ΔH ≤ 0.

Каждый тип топлива обладает уникальными физическими и химическими свойствами. Анализ данных табл. 1 [22] показывает, что для полной конверсии топлива в водород и CO₂ в зависимости от вида топлива требуется различное количество кислорода, а максимумы энергетических эффективностей различных топлив отличаются, хотя они были получены в идеальном автотермическом процессе (ΔH = 0). (Энергетическая термическая эффективность риформинга – это отношение количества полученного водорода к количеству затраченного топлива, умноженных на низшие теплоты сгорания водорода и топлива соответственно.) Кислородсодержащие вещества (спирты, альдегиды, кетоны и т.п.) – обычный вид топлива для производства водорода. Среди всех спиртов метanol наиболее привлекателен в качестве топлива благодаря не только умеренным условиям конверсии и наивысшей энергетической эффек-

ТАБЛИЦА 1

Типы топлив и их максимально возможные энергетические эффективности риформинга [22]

Топливо	C _n H _m O _z	Рассчитанные термонейтральные O ₂ /топливо соотношения (x _o) и теоретические энергетические эффективности						
		n	m	z	ΔH _f , ккал/(г · моль)	m/2n	x _o	Эффективность, %
Метанол	CH ₃ OH	1	4	1	-57.1	2	0.230	96.3
Метан	CH ₄	1	4	0	-17.9	2	0.443	93.9
Уксусная кислота	C ₂ H ₄ O ₂	2	4	2	-116.4	1	0.475	94.1
Этан	C ₂ H ₆	2	6	0	-20.2	1.5	0.771	92.4
Этилен	C ₂ H ₄	2	6	2	-108.6	1.5	0.418	95.2
Этанол	C ₂ H ₆ O	2	6	1	-66.2	1.5	0.608	93.7
Пентен	C ₅ H ₁₀	5	10	0	-5.0	1	1.595	90.5
Пентан	C ₅ H ₁₂	5	12	0	-35.0	1.2	1.814	91.5
Циклогексан	C ₆ H ₁₂	6	12	0	-37.3	1	2.143	90.7
Бензол	C ₆ H ₆	6	6	0	-11.7	0.5	1.784	88.2
Толуол	C ₇ H ₈	7	8	0	-2.9	0.57	2.161	88.6
Изооктан	C ₈ H ₁₈	8	18	0	-62.0	1.13	2.947	91.2

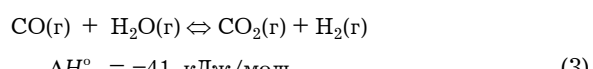
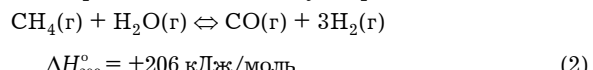
тивности, но и возможности получать его из возобновляемых источников [23–27]. Каталитическое производство водорода из метанола для мобильных, стационарных и портативных энергоустановок на топливных элементах подробно рассмотрено в обзоре [28]. Другой спирт – этанол – обычно используется как основная добавка в бензин ввиду его высокого октанового числа и низкой токсичности [29–32]. Недавно возник интерес к производству водорода из фенола [33].

Природный газ [34] и сжиженный нефтяной газ [35], а также их заменители (метан и пропан [36]) рассматриваются как наиболее привлекательные топлива для производства водорода ввиду их огромных существующих резервов и высокой конверсионной эффективности. Из природного газа в настоящее время получают 90 % всего производимого в мире водорода. Кроме того, на сегодняшний день сложилась широко развитая газораспределительная инфраструктура. Как и упомянутые выше газы, бензин тоже привлекателен для производства водорода и также имеет обширную инфраструктуру. Однако начиная с 2004 г. США прекратили все исследования по теме “получение водорода из бензина” [28]. Другие виды топлива, включая дизель, биоэтанол, биодизель, спирт из сахара, также рассматриваются как перспективные источники получения водорода. Из них водород/синтез-газ традиционно получают путем высокотемпературной газификации/пиролизом биомассы с последующим каталитическим реформингом газожидкостных продуктов. Получение водорода из угля путем его газификации в CH_4 и последующее использование технологии АКК разработано в США авторами проекта ZEC (Zero Emission Carbon) [37]. Около половины произведенного водорода используется для стадии газификации, а остаток направляется в ТЭ для генерации электрической энергии. Согласно приведенным в работе [38] данным, эффективность конверсии угля в электроэнергию составляла около 70 % [38]. Исследования в данном направлении продолжаются в Англии [39] и Японии [40].

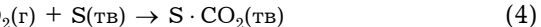
Процессы (внешней) конверсии и варианты очистки H_2 -газа

Основные реакции получения H_2 из природного газа – это паровая конверсия мета-

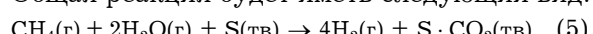
на (ПКМ) и последующая реакция паровой конверсии монооксида углерода (ПКМУ):



Обе реакции ограничены равновесиями, поэтому достичь полной конверсии CH_4 и CO в отдельном реакторе при нормальных условиях невозможно. Однако если CO_2 извлекается из газовой фазы в момент ее образования, то ограничение равновесием исчезает, и достигается почти полная конверсия метана. Реакция извлечения CO_2 может быть записана как



Общая реакция будет иметь следующий вид:



Видно, что сорбент $\text{S}_{\text{тв}}$ может реагировать с CO_2 , образуя твердый карбонат либо физически или химически адсорбироваться на поверхности сорбента. Основное внимание исследователей было удалено сорбентам на основе кальция и промотированым калием гидратальбитам. Другие сорбенты на основе смешанных металлических оксидов лития и натрия исследовались менее интенсивно. Детальное рассмотрение сорбентов и катализаторов конверсии будет представлено в следующих публикациях.

Производство водорода с использованием традиционного процесса паровой конверсии метана и одновременного извлечения CO_2 началось почти 30 лет назад [41, 42]. В этом обзоре мы обсудим стандартные и мембранные процессы получения H_2 , а также некоторые ограничения АКК, которые могут быть устранены или, по крайней мере, уменьшены. Блок-схемы стандартной паровой конверсии метана в традиционном и мембранным ТП с тремя способами очистки H_2 приведены на рис. 1. Очищенный от серы природный газ смешивается с водяным паром при соотношении $\text{H}_2\text{O}/\text{C} = 2.5–5$ и направляется в реформер, где по реакции (2) образуются H_2 и CO . Традиционная конверсия – высокоэндотермический процесс, и для достижения необходимой температуры процесса ($800–900^\circ\text{C}$) требуется значительное количество дополнительной энергии. Установлено, что высокое давление 1.5–2.0 МПа при проведении процесса экономически выгодно, несмотря на отрица-

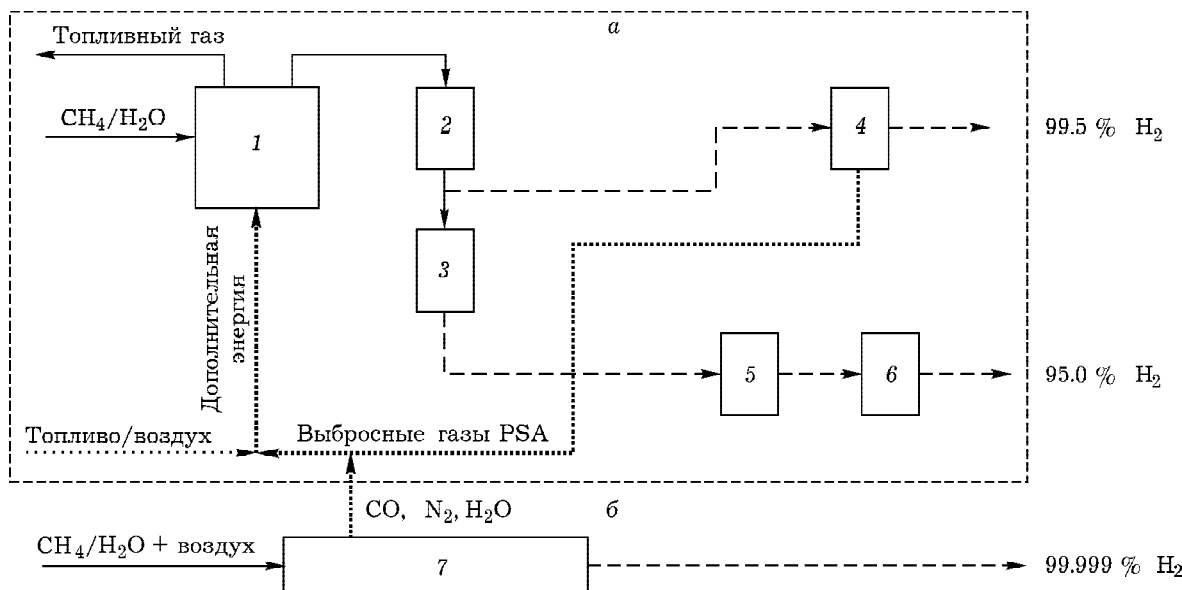


Рис. 1. Блок-схемы традиционного (а) и мембранных (б) топливных процессоров для производства водорода с тремя способами очистки. 1 – реформер, 2 – ВТР ПКМУ, 3 – НТР ПКМУ, 4 – реактор PSA, 5 – скруббер, 6 – метанатор или PROX, 7 – мембранный реформер.

тельный эффект давления на конверсию CH_4 . Реакция проводится на никелевом катализаторе внутри трубок в печи, где дополнительная энергия выделяется в результате сжигания отходящих газов после очистки водорода или дополнительной части природного газа. Реакция (3) проводится в двух реакторах паровой конверсии СО: высокотемпературном (ВТР ПКМУ) при 350–400 °C и низкотемпературном (НТР ПКМУ) при ≈200 °C. В ВТР ПКМУ используется железохромовый катализатор, а в НТР ПКМУ – медно-цинковый. Типичный состав газа после обработки во втором реакторе ПКМУ (сухой), об. %: H_2 76, CO_2 17, CH_4 4, СО 3 [43]. Каталитический мембранный реформер или мембранный топливный процессор заменяют многоаппаратный традиционный топливный процессор одним блоком, в котором одновременно осуществляются и реакция, и сепарация [44–46].

Существующие методы очистки зависят от назначения продукта – водорода. В случае мокрой очистки CO_2 извлекается растворомmonoэтаноламина. Если полученный водород содержащий газ содержит в больших количествах СО, отравляющий катализаторы реактора или топливного элемента, то для снижения его уровня необходимо метанирование (обратная реакция конверсии) или селективное окисление (preferential oxidation, PROX).

PROX – каталитический процесс, при реализации которого к селективно-окисляемому СО добавляется небольшое количество O_2 в присутствии H_2 . Финальный продукт очистки состоит из 95 % H_2 и следов СО.

Процесс адсорбции со сдвигом давления эффективен при получении водорода сверхвысокой чистоты и детально описан в [3, 42], при этом низкотемпературный реактор ПКМУ не используется. Составные неподвижные слои, содержащие молекулярные сита, силикагель или активированный уголь, используются в PSA, обеспечивая непрерывность процесса с постоянным составом водородсодержащего и отходящих газов. В современных реакторах PSA удается достичь концентрации $\text{H}_2 > 99.9\%$ с извлечением H_2 вплоть до 90 %, при этом концентрация СО обычно составляет ~100 млн⁻¹. Для использования такого газа в ПОМТЭ требуется метанирование или PROX.

Мембранный способ очистки позволяет получать сверхчистый водород 99.999 %, а также извлекать CO_2 непрерывно в ходе процесса. Полученный водород может быть использован в ПОМТЭ, так как концентрация СО в нем не превышает ~10 млн⁻¹. Все три способа очистки H_2 имеют специфические недостатки. Так, при использовании метанирования или PROX неизбежны потери водоро-

да; стоимость МЭА-очистки высока ввиду требований к пару в десорбере; установки PSA довольно сложны, и потери H_2 на них достигают более 10 %. Широкое применение металлических мембран сдерживается их стоимостью, проницаемостью по водороду и сроком службы [45, 46]. Керамические кислородопроницаемые мембранны находятся в стадии интенсивной разработки.

Типичные аппараты топливного процессора с АКК

Аппараты АКК в составе топливного процессора для ПОМТЭ конструктивно мало отличаются от традиционных реакторов, используемых в паровой конверсии метана. Их особенность состоит в том, что в реакторе АКК вместе с катализатором конверсии метана находится сорбент CO_2 . Из-за цикличности процесса АКК обычно применяют как минимум два одинаковых аппарата: один находится в рабочем режиме, а второй – в режиме регенерации сорбента. Вместо двух аппаратов каталитические адсорбционные реакторы могут быть выполнены в одном корпусе, включающем две колонны труб со смесью катализатора ПКМ и CO_2 хемосорбента (рис. 2) [47–49]. В предложенном авторами [48, 49] новом термосорбционном типе реформера для получения водорода в процессе паровой конверсии при температуре ~500 °C используется гидрокальцит в качестве хемосорбента CO_2 . Циклический процесс состоит из двух стадий. На сорбционно-реакционной стадии смесь H_2O и CH_4 при давлении 0.15–0.20 МПа и температуре ~490 °C подается в реактор с неподвижным слоем, состоящим из смеси катализатора ПКМ и хемосорбента CO_2 . Реактор нагревается при температуре ~590 °C и заполняется паром при реакционном давлении и температуре. Водородсодержащий газ ($CO < 20$ млн $^{-1}$) выводится из реактора при данном давлении. На стадии термической регенерации давление в реакторе снижается до атмосферного, проводится очистка слоя перегретым паром (~590 °C) в противотоке с последующим повышением давления до реакционного, при этом из реактора выводится газ CO_2 .

Реактор с циркулирующим псевдоожженным слоем (транспортный реактор) представ-

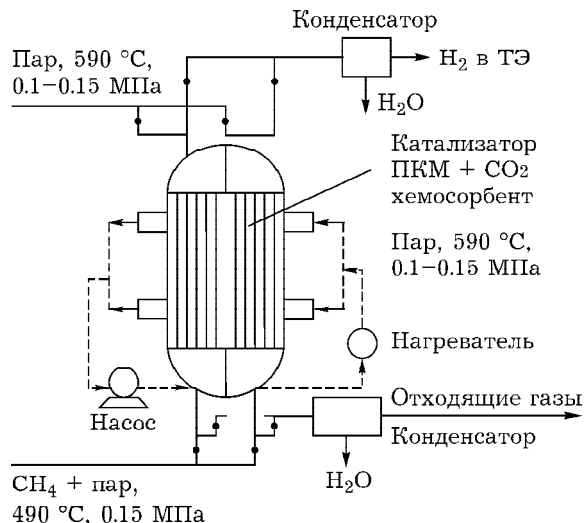


Рис. 2. Схема адсорбционного реактора АКК со сдвигом по температуре [49].

ляет собой идеальную систему для переноса регенерированного и отработанного сорбента между реактором получения H_2 и реактором регенерации, для добавления свежего и извлечения использованного сорбента, а также для отвода части сорбента для реактивации. Пилотная установка с таким типом реактора была создана в 1970-е годы в России [50, 51]. Топливо подавалось непрерывно, адсорбент постоянно циркулировал между реактором и регенератором, что позволило получить в одну стадию водород с чистотой более 96 %. В реакторах с кипящим слоем необходимо использовать материалы с высокой механической прочностью на истирание.

Паровая конверсия метана (ПКМ-АКК) в реакторе с псевдоожженным слоем с промышленным Ni-катализатором фирмы Haldor-Topsøe и доломитом в качестве сорбента CO_2 проводилась в лабораторном реакторе [52]. Продуктовый водород (98 %, сухая масса) был получен при 600 °C, атмосферном давлении, соотношениях пар/углерод, равном 3, и катализатор/прокаленный доломит, равном 2.5 г/1 г. В опытах был использован один реактор, который работал в периодическом режиме. Прокаливание слоя проводилось при атмосферном давлении, температуре 850 °C с использованием N_2 -газа продувки. На стадии регенерации катализатор перед подачей CH_4 и H_2O восстанавливается в токе H_2 . Аналогичный лабораторный реактор высотой 1 м с циркулирующим слоем, который состоит из двух

реакторов с кипящим слоем, связанных с транспортной трубой (rizer) и петлевыми заглушками, показан в работе [53]. Схема реактора обеспечивала непрерывную циркуляцию порошка без нежелательного смешивания газов между реформером и регенератором. Внутренний диаметр обоих реакторов составлял 5 см. В качестве сорбента CO_2 также использовался доломит с сепарационной эффективностью около 65 %. Свежий сорбент и катализатор могли добавляться в реактор через определенный промежуток времени. Исследования в таком же реакторе проведены авторами [54], которые изучали влияние образующегося $\text{Ca}(\text{OH})_2$ на состав продуктового газа. Предложенная схема промышленного процесса на базе такого реактора приведена на рис. 3 [4]. Математические модели, описывающие стадии конверсии и регенерации в сопряженных реакторах с псевдоожиженным слоем, представлены в работах [5, 55].

Лабораторные и пилотные адсорбционные реакторы используются для тестовых испытаний паровой конверсии метана и обычно представляют собой аппараты трубчатого типа. Такой реактор в виде трубы из нержавеющей стали с внутренним диаметром 12.5 мм и длиной 220 мм загружали промышленным Ni-катализатором (United Catalyst. Inc.), содержащим 25–35 % Ni, 25–35 % NiO , 5–15 % MgO , 15–25 % натриевого силиката, и CO_2 -адсорбентом, в виде гидрокалькита, промотированного калием [10]. Были проведены исследования по переходным режимам в реакторе, по приросту конверсии метана из-за

сдвига равновесия вследствие адсорбции CO_2 , определены ограничения по массопереносу в кинетике адсорбции и выявлена роль давления. Подобный реактор для циклических испытаний ПКМ-АКК был выполнен в виде 40 труб из нержавеющей стали с внутренним диаметром 25.4 мм и длиной 6100 мм [12]. В полученном водородсодержащем газе средняя молярная доля H_2 составляла $\geq 87.0\%$ (сухая масса), а концентрации CO_2 и CO не превышали 130 и 30 млн млн^{-1} соответственно. Стационарный режим реактора достигался после 30 циклов. Для оценки реакционной и адсорбционной кинетики в изотермических условиях использовался реактор с переменной длиной адсорбционной и реакционной зон [56]. На примере двух реакций (извлечения H_2S из природного газа и сырой нефти, а также синтеза HCN из синтез-газа сырья) было показано, что адсорбционная и реакционная стадии протекают с практически одинаковой скоростью.

Новая гибридная система адсорбент – мембранный реактор (Hybrid Adsorbent-Membrane Reactor, HAMR) для производства водорода объединяет реакцию его получения, мембранный сепаратор H_2 и CO_2 с адсорбией продукта CO_2 в реакционной зоне и/или в зоне проницаемости [57]. HAMR-система представляет потенциальный интерес в получении чистого водорода для различных мобильных и стационарных энергоустановок на базе ПОМТЭ и предварительно была исследована в гибридном мембранным реакторе с интегрированными реакцией, испарением воды через мембрану и ее адсорбцией за мембра-

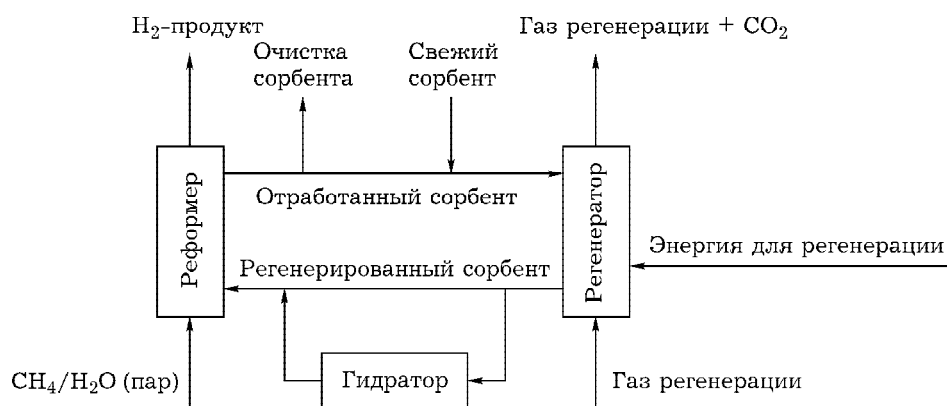


Рис. 3. Вероятная схема промышленного реактора АКК с циркулирующим псевдоожиженным слоем и гидратором для поддержания активности сорбента [4].

ной [58]. В мембранным реакторе с испарением использовались гидрофильные избирательно проницаемые для воды полимерные мембранны (полиэфиримидные, полиимидные, а также микропористые цеолитные). Вода является нежелательным побочным продуктом (например, в реакциях этерификации), и ее извлечение способствует росту селективности и выхода основного продукта. Объединение реакций сепарации и адсорбции в одном аппарате представляет собой новый тип процессов, названных реакционной сепарацией (reactive separation). Наряду с мембранными реакторами с неподвижным слоем катализатора (MP) [45, 59–64] и абсорбционными реакторами (AP) [9–12, 65–70], HAMR обладает их преимуществами по сравнению с традиционными реакторами паровой конверсии метана: 1) повышенными конверсиями метана и выходом водорода за счет сдвига равновесия реакции ПКМ в сторону продуктов; 2) осуществлением ПКМ в более мягких операционных условиях (например, при более низких температурах, давлении, сниженном расходе пара); 3) сниженными требованиями по очистке водорода (в случае MP) или удалению нежелательного продукта CO_2 (в случае AP).

Схема HAMR показана на рис. 4. Видно, что катализатор и адсорбент расположены на внешней стороне мембранны с дополнительным адсорбентом, расположенным внутри мембранныго объема. Имеются различные конфигурации HAMR: 1) катализатор загружен на реакционной стороне, а адсорбент – в зоне проницаемости; 2) катализатор и адсорбент загружены на реакционной стороне без адсорбента и катализатора в зоне проницаемости. В первом варианте мембрана отделяет катализатор от адсорбента, что позволяет прямо в процессе непрерывно регенерировать адсорбент. Эта конфигурация демонстрирует преимущество HAMR над AP, где требуется наличие множества слоев для обеспечения непрерывности процесса, пока один из них регенерируется.

Как и в адсорбционном реакторе паровой конверсии метана, в HAMR необходимо согласовывать свойства адсорбента с каталитической системой. Предложены два типа адсорбента: промотированный калием двухслойный гидроксид (layered double hydroxides, LDH), который стабильно работает при низ-

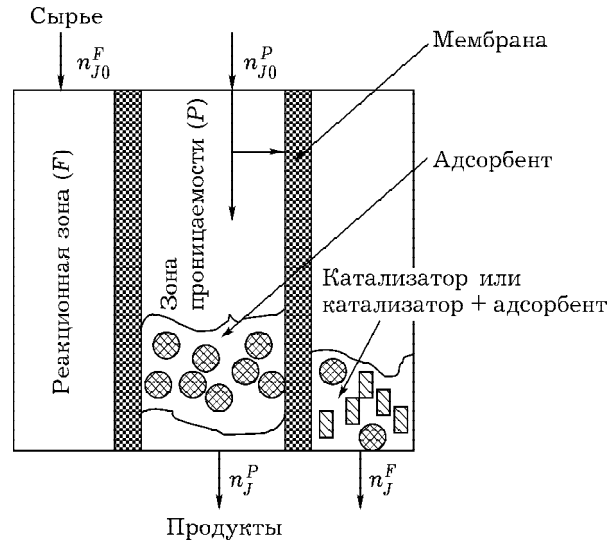


Рис. 4. Схема адсорбент-мембранныго реактора [57]. F – зона сырья или реакционная зона, P – зона проницаемости.

ких температурах (менее 500 °C) [9, 12, 71], и CaO или промышленный доломит, который применяется при типичных температурах паровой конверсии (650–700 °C) [69], однако для его регенерации требуется более высокая (>850 °C) температура [11, 70]. Эти жесткие условия обусловлены постепенным ухудшением свойств адсорбента и потенциальным спеканием катализатора конверсии. Рассогласование между реакционными и регенеративными условиями существенно осложняет процесс. Регенерация адсорбента (удаление CO_2) осуществляется различными способами: снижением давления, повышением температуры или продувкой инертным газом [18].

В настоящее время в HAMR используется новый тип высокопрочных мембран на основе карбида кремния, способных выдерживать высокотемпературный пар. SiC-нанопористые бездефектные мембранны были приготовлены с помощью методов химического нанесения из пара и химического парового проникновения (chemical-vapor deposition / chemical-vapor infiltration) двух различных предшественников: триизопропилсилина ($(\text{C}_3\text{H}_7)_3\text{SiH}$, или ТПС) и 1,3-дисилабутана ($\text{CH}_3\text{SiH}_2\text{CH}_2\text{SiH}_3$, или ДСБ) [72]. В отличие от ДСБ-мембран, ТПС-мембранны высокотемпературные и термостабильные. Другим традиционным методом пропитки и нанесения (conventional dip-

coating technique) из керамического предшественника (аллилгидрополикарбосилана), и особенно из аллилзамещенного гидрополикарбосилана, были изготовлены мембранные, стабильные при 450 °C. Эти мембранные не восприимчивы к дезактивации от кокса и серы и использовались в реакторах конверсии монооксида углерода (water gas shift reactor) и паровой конверсии метана, где мембрана функционирует в присутствии высокотемпературного пара. Проницаемость по водороду достигала $(4\text{--}6) \cdot 10^{-7}$ моль/(м² · с · Па) и сохранялась постоянной в течение 120 ч, сепарационный фактор H₂/H₂O ≈ 2.5. Проницаемость по азоту оказалась почти на два порядка ниже, чем по водороду ($4.55 \cdot 10^{-9}$ моль/(м² · с · Па)). Концентрация CO в SiC-мембранным реакторе с неподвижным слоем катализатора в зоне проницаемости была не ниже 100 млн⁻¹. Следовательно, для использования полученного водорода в ПОМТЭ необходимо принимать дополнительные меры для снижения уровня CO до 10 млн⁻¹.

Экспериментальное исследование HAMR было проведено для реакции паровой конверсии CO с использованием двухслойного гидроксида в качестве адсорбента CO₂ и нанопористой H₂-селективной углеродной мембранных в виде молекулярного сита (carbon molecular sieve, CMS) [23]. Реактор, выполненный из нержавеющей стали, имел внутренний диаметр 3.175 см и длину 25.4 см. Длина CMS-мембранны составляла 25.4 см, внутренний и внешний диаметры – 0.35 и 0.57 см соответственно. Катализатор (30 г) и/или адсорбент (70 г) загружались в межтрубное пространство между мембраной и реактором. Реактор нагревался трехзонной печью. Для контроля температуры использовались три отдельных температурных регулятора, три термопары, установленные в трех различных местах слоя, и скользящая термопара, помещенная в термокармане (thermo-well) вдоль слоя. Контроль давления проводился регулятором противодавления (back-pressure regulator). В зоне проницаемости давление во всех экспериментах поддерживалось равным атмосферному. Газы, выходящие из реактора, проходили через конденсатор и влагоотделитель. Испытывались регенеративные ад-

сорбенты CO₂ и LDH, имеющий формулу (Mg)_{1-x}(Al)_x(OH)₂(CO₃)_{x/2} · mH₂O. Адсорбенты регенерировались прямо в процессе продувкой азотом или паром. В испытаниях использовался промышленный катализатор Haldor-Topsøe CuO/ZnO/Al₂O₃ для низкотемпературной реакции ПКМУ. Для кинетических испытаний катализатор активировался (процесс восстановления оксида меди в металлическую медь) путем его нагрева при 220 °C в потоке, состоящем из 50 % N₂, 30 % H₂, 20 % H₂O. Получена следующая кинетическая модель:

$$r = 12.06 \exp(-19.596/RT) \times P_{CO} P_{H_2O}^{0.5} (1 - \beta) \\ (\text{в моль}/(\text{г}_{\text{кат}} \cdot \text{ч})) \quad (6)$$

где r – скорость; $\beta = (1/K_g)(P_{CO_2} P_{H_2} / P_{CO} P_{H_2O})$; K_g – константа равновесия реакции ПКМУ; P_j – парциальное давление компонента j .

Для определения характеристик CMS-мембранны (проницаемости и сепарационного фактора) были выполнены серии экспериментов с использованием отдельных газов (CO, CO₂, H₂, Ar, CH₄ и N₂) и смеси, содержащей CO, CO₂, H₂ и H₂O. Проницаемость компонента j через мембрану определялась по эмпирическому уравнению массопереноса:

$$F_j = U_j (P_j^F - P_j^P) \quad (\text{в м}^3/(\text{м}^2 \cdot \text{ч} \cdot \text{МПа})) \quad (7)$$

где P_j^F , P_j^P – парциальное давление компонента j в реакционной зоне и зоне проницаемости соответственно.

Сепарационный фактор (СФ) определялся как отношение проницаемости водорода к проницаемости соответствующего газа. Получено, что проницаемость CMS-мембранны по H₂ равна 0.13446–0.16847 м³/(м² · ч · МПа), а СФ для CO составил 34.87, для CO₂ – 15.75, для N₂ – 47.86.

Авторы работы [73] показали, что выход водорода, его извлечение и конверсия CO в HAMR-системе выше, чем в адсорбционном реакторе. Математическая модель HAMR-системы, разработанная ранее в работе [57], удовлетворительно описывает экспериментальные данные по ПКМУ.

Рассмотренные выше аппараты для извлечения CO₂ с одновременным производством водорода в настоящее время интенсивно исследуются на лабораторном уровне. Переход на промышленный масштаб, по-видимому, произойдет уже в ближайшем будущем, поскольку преимущества адсорбционных реакторов над традиционными реакторами значительны.

РЕГЕНЕРАТИВНЫЕ МЕМБРАННЫЕ СИСТЕМЫ ЖИЗНЕОБЕСПЕЧЕНИЯ В КОСМОСЕ

Извлечение и утилизация CO_2 имеет большие потенциальные приложения в химической и энергетической промышленности, а также в космической отрасли [74, 75]. Например, система жизнеобеспечения (СЖО, air revitalization system, ARS) должна обеспечивать извлечение CO_2 из атмосферы, в которой пребывают космонавты. Для кратковременных полетов CO_2 может контролироваться сорбцией на гидроксидах металлов типа LiOH . Однако для долгосрочных космических приложений требуются непрерывные регенеративные технологии, включая адсорбцию со сдвигом давления и мембранные, что в дополнении к извлечению CO_2 может также использоваться для регенерации кислорода. Одну из проблем в применении каталитических реакторных технологий в космосе представляют разбавленные концентрации CO_2 . Необходимость введения стадии предварительной концентрации CO_2 значительно усложняет процессный ряд. Применение технологии реакционной сепарации (катализическая и сепарационная стадии объединены *in situ*) с использованием высокотемпературных мембран обеспечивает дополнительный синэнергизм, повышающий эффективность обеих стадий. Газ CO_2 обычно не считается токсичным, и его концентрация в земной атмосфере находится на уровне 330–350 млн⁻¹. Однако высокие концентрации CO_2 могут вызывать респираторные проблемы. Система жизнеобеспечения на Международной космической станции поддерживает содержание CO_2 на уров-

не около 2000 млн⁻¹, но при высокой двигательной активности космонавтов, например в космическом скафандре, этот уровень равен или ниже 5000 млн⁻¹.

Один из подходов по извлечению CO_2 – это использование реакции метанализа (Сабатье, Sabatier), в которой CO_2 катализически реагирует с водородом, производя одновременно метан и воду:



Схема СЖО показана на рис. 5 и включает систему извлечения CO_2 , основанную на реакции Сабатье. Извлекаемый из кабины CO_2 регенерируется в снижающей его содержание подсистеме, где он катализически реагирует с H_2 . (Водород генерируется вместе с O_2 в электролизной системе.) Вода – реакционный продукт реакции Сабатье – поступает в водоотделительную систему и посредством электролиза обеспечивает дополнительное поступление кислорода в кабину. Кинетика реакции Сабатье была изучена авторами [76, 77]. Реакция (8) экзотермическая, и равновесная конверсия CO_2 значительно снижается при температуре более 300 °С. Для проведения реакции использовались нанесенные Ni-, Ru-катализаторы [78, 79], механизм реакции приведен в работе [80]. Мембранный реактор с SiO_2 -водопроницаемой мембраной и промышленным катализатором 0.5 % Ru/ Al_2O_3 ранее был исследован авторами [81]. Были применены смеси H_2/CO_2 в диапазоне 1–5, которые подавались в реакционную зону при повышенном давлении (0.2 МПа) для получения высокой конверсии CO_2 . Интересное приложение мембранныго реактора при извлечении CO_2 с производством CH_4 и воды

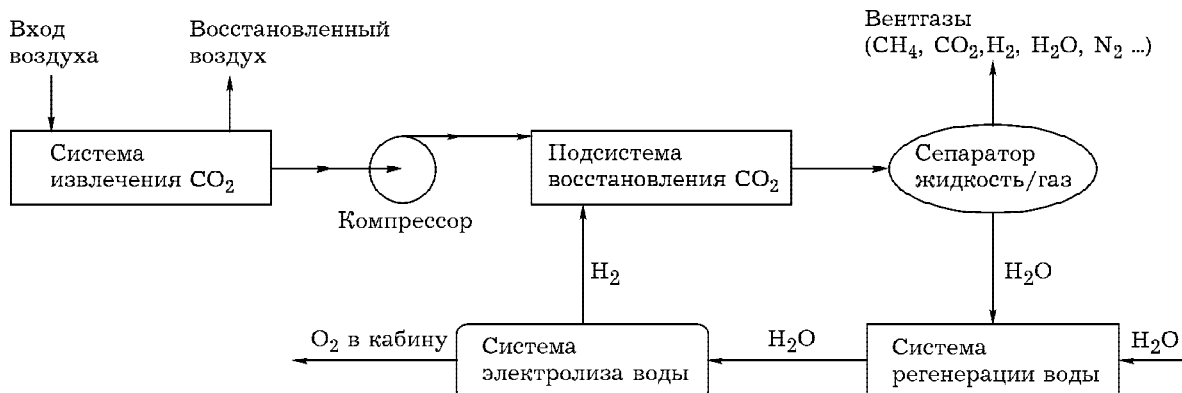


Рис. 5. Стандартная система жизнеобеспечения с подсистемой восстановления CO_2 [75].

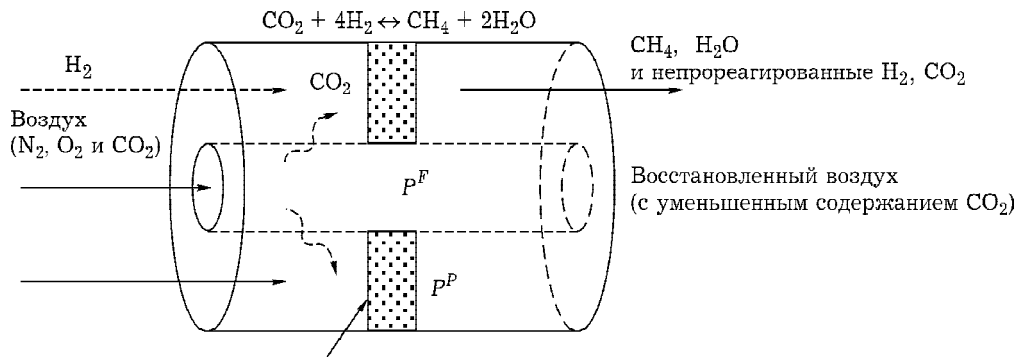
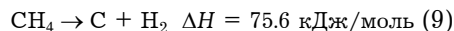


Рис. 6. Схема мембранных реакторов для орбитальной системы жизнеобеспечения и поддержанием уровня $\text{CO}_2 \leq 2000 \text{ млн}^{-1}$ [75].

предложено в работе [82]. Образовавшийся метан был конвертирован на Ni/SiO_2 -катализаторе в графитовый углерод и водород по реакции:



В этой двухстадийной реакторной системе около 70 % CO_2 конвертировалось в графитовый углерод.

Система жизнеобеспечения на базе мембранных реакторов (MR-based air revitalization system, MARS) была исследована в отношении оптимального количества катализатора, площади мембраны и других характеристик [75]. MARS — замкнутая система жизнеобеспечения с обратной связью и предназначена для контроля влажности, уровня CO_2 и CH_4 в кабине и поддержания необходимого количества кислорода. Известно, что один человек потребляет обычно 850 г O_2 /сут и выдыхает около 1 кг CO_2 /сут. В космическом движении кислород производится электролизом, который расщепляет воду на O_2 и H_2 . Если используется адсорбция на гидроксидах металлов для извлечения выдыхаемого CO_2 , то для шести космонавтов потребуется ~2.1 т H_2O /год. Без возврата кислорода через реакцию Сабатье (не используются произведенные H_2 и CO_2), около 2.2 т CO_2 и 233 кг H_2 должны быть выведены с вентгазами в космос. Система MARS конвертирует CO_2 и H_2 в воду и метан. Вторичная конверсия метана (разложение по реакции (9)) требует высокой температуры и тщательно разработанной конструкции реактора, например, с псевдоожженным слоем катализатора. Описываемая система MARS пока не имеет такого реактора, но исследования по получению дополнительного водорода и углерода в контек-

сте утилизации ресурсов непосредственно в процессе уже проведены [83, 84].

Без учета возврата водорода по реакции (9) оптимальная конверсия CO_2 обеспечивается по реакции (8). На каждый выдыхаемый 1 моль CO_2 в среднем требуется 1.168 моль O_2 и 2.236 моль H_2O , чтобы обеспечить кислород для дыхания в кабине. Часть H_2O может быть возвращена по реакции Сабатье, при этом количество возвращенной воды определяется количеством водорода, производимым на борту электролизом. Это обеспечивает конверсию реакции (8), равную 58.4 %, что означает сохранение 1.168 моль H_2O и, соответственно, 1046 кг воды в год для шести космонавтов. Расчеты проведены для идеальной мембраны с конверсией CO_2 58.4 % при идеальном транспорте CO_2 из трубы. Однако водород, подаваемый в реакционную зону, загруженную катализатором, частично проникает внутрь мембранный трубы, что приводит к его потерям. Непрореагировавший водород вместе с CO_2 и CH_4 выводится из кабины с вентгазами, хотя путем каталитического окисления он может быть возвращен в виде воды. Отношение молярной скорости H_2 в реакционной зоне к скорости воздуха в зоне проницаемости определяется как отношение продувки. Рециркулируемый воздух в кабине с учетом неидеальности мембраны содержит метан (1000 млн⁻¹), что исключает создание взрывоопасных условий при наличии водорода.

Основные характеристики предложенной системы MARS даны в табл. 2. Как видно, мембрана обладает высокой проницаемостью в отношении H_2, CO_2 и H_2O , исключая газы $\text{CH}_4, \text{CO}, \text{N}_2$. Результаты моделирования показали, что чем больше проницаемость мем-

ТАБЛИЦА 2

Основные параметры и диапазон условий работы системы MARS [75]

Параметр	Номинальное значение	Диапазон
Давление в зоне реакции P^F , атм	1.07	—
Давление в зоне проницаемости P^P , атм	1.00	—
Температура реактора T , °С	250	—
Скорость потока воздуха F_0^P , м ³ /ч	180	—
Проницаемость CO ₂ , м ³ /(м ² · бар · ч)	1.2	0.8–5.0
Сепарационный фактор:		
CO ₂ /H ₂	5.0	—
H ₂ /CH ₄	60.0	—
H ₂ /H ₂ O	1.0	—
H ₂ /N ₂	79.4	—
H ₂ /O ₂	84.9	—
Концентрация в зоне проницаемости, млн ⁻¹ :		
CO ₂	5000	3000–5000
CH ₄	1000	
H ₂ O	8000	
Концентрация H ₂ O в воздухе, млн ⁻¹	8000	
Плотность катализатора ρ_c , г/м ³	$1.18 \cdot 10^6$	
Длина мембранны L, м	1.0	
Внутренний диаметр мембранны D_i , м	0.0035	
Внешний диаметр мембранны D_o , м	0.0057	
Площадь поперечного сечения A^F , м	0.14	
Порозность слоя	0.515	

брана, тем меньше должна быть ее площадь, но тем большее количество катализатора необходимо для переработки CO₂. Повышение концентрации CO₂ в кабине имеет положительный эффект, так как CO₂ в этом случае легче удалять через мембрану. Рассмотренная в данной работе MARS-система была использована для определения пригодности реакционной сепарации в системе жизнеобеспечения для космических приложений.

ЗАКЛЮЧЕНИЕ

Каталитическое производство водорода для топливных элементов с одновременным извлечением углекислого газа из реакционной среды обладает рядом преимуществ над традиционной схемой получения водорода. Использование технологии АКК позволяет в одну стадию получить водород с чистотой

95.5–99.999 %, при этом степень превращения исходного сырья выше термодинамики равновесной величины. Термическая эффективность процесса АКК выше по сравнению с таковой для стандартного процесса (79 и 71 % соответственно). Для генерации водорода в настоящее время в основном применяется природный газ. При использовании CaO-хемосорбента достигается степень превращения CH₄ 93 %, при извлечении 85 % углерода и более 90 % водорода.

Реакторы получения водорода абсорбционно-катализитической конверсией мало отличаются от традиционных аппаратов конверсии. Схемы технологии очистки водородсодержащего газа от примесей, как и катализаторы конверсии, также хорошо разработаны. Основные проблемы, связанные с использованием технологии АКК, состоят в разработке эффективных сорбентов CO₂, в определении влияния циклических условий на активность

катализаторов. В настоящее время ведутся интенсивные исследования на лабораторном уровне адсорбционных реакторов и процессов получения в них водорода.

СПИСОК ЛИТЕРАТУРЫ

- 1 Мордкович В. З. // Химия и жизнь. 2006. № 5. С. 8.
- 2 // Химия и бизнес. 2004. № 3. Вып. 61. С. 63.
- 3 Sircar S. // Ind. Eng. Chem. Res. 2002. Vol. 41, No. 6. P. 1389.
- 4 Harrison D. // Ind. Eng. Chem. Res. 2008. Vol. 47. P. 6486.
- 5 Lindborg H., Jakobsen H. // Ind. Eng. Chem. Res. 2009. Vol. 48. P. 1332.
- 6 Rostrup-Nielsen J. R. Catalytic Steam Reforming. // Catalysis – Science and Technology. / J. R. Anderson, M. Boudart (Eds). Berlin: Akademie-Verlag, 1984 Vol. 5. P. 280.
- 7 Пат. ССИА № 1938202, 1933.
- 8 Пат. ССИА № 3108857, 1963.
- 9 Hufton J.R., Mayorga S., Sircar S. // Separations. 1999. Vol. 45, No. 2. P. 248.
- 10 Ding Y., Alpay E. // Chem. Eng. Sci. 2000. Vol. 55. P. 3929.
- 11 Ortiz A., Harrison D. // Ind. Eng. Chem. Res. 2001. Vol. 40, No. 23. P. 5102.
- 12 Waldron W. E., Hufton J. R., Sircar S. // AIChE J. 2001. Vol. 47, No. 6. P. 1477.
- 13 Yong Z., Rodrigues A. // Adsorpt. Sci. Technol. 2001. Vol. 19, No. 8. P. 655.
- 14 Yong Z., Mata V., Rodrigues A. // Adsorpt. Purific. Technol. 2002. Vol. 26. P. 195.
- 15 Xiu G.-H., Li P., Rodrigues A. // Chem. Eng. Sci. 2003. Vol. 58. P. 3425.
- 16 Yi K., Harrison D. // Ind. Eng. Chem. Res. 2005. Vol. 44, No. 6. P. 1665.
- 17 Wang Y., Rodrigues A. // Fuel. 2005. Vol. 84, No. 14–15. P. 1778.
- 18 Okuney A., Lysikov A., Trukhan S., Zudin V. // Int. Hydrogen Congress and Exhibition IHEC, Istanbul, Turkey, 2005. P. 2005.
- 19 Lysikov A., Trukhan S., Okuney A. // Int. J. Hydrogen Energy. 2008. Vol. 33. P. 3061.
- 20 О водородной энергии – вечном топливе. Меморандум столетия. Международная ассоциация водородной энергии. // Альтернативная энергетика и экология 2009. Т. 4. С. 114.
- 21 Ahmed S., Krumpelt M. // Int. J. Hydrogen Energy. 2001. Vol. 26. P. 291.
- 22 Пат. ССИА № 6713040B2, 2004.
- 23 Asprey S. P., Wojciechowski B. W., Peppley B. A. // Appl. Catal. A: Gen. 1999. Vol. 179. P. 51.
- 24 Amphlett J. C., Mann R. F., Peppley B. A. // Int. J. Hydrogen Energy. 1996. Vol. 21, No. 8. P. 673.
- 25 Peppley B. A., Amphlett J. C., Keams L. M., Mann R. F. // Appl. Catal. A: Gen. 179. 1999. P. 21.
- 26 Peppley B. A., Amphlett J. C., Keams L. M., Mann R. F. // Appl. Catal. A: Gen. 179. 1999. P. 31.
- 27 Idem R. O., Bakhshi N. N. // Chem. Eng. Sci. 1996. Vol. 51, No. 14. P. 3697.
- 28 Лукьянов Б. Н. // Усп. химии. 2008. Т. 77, № 11. С. 1065.
- 29 Fatsikostas A. N., Verykios X. E. // J. Catal. 2004. Vol. 225. P. 439.
- 30 Galvita V. V., Cemin G. L., Belyaev V. D., Yurieva T. M., Sobyanin V. A. // Appl. Catal. A: Gen. 2001. Vol. 220. P. 123.
- 31 Liguras D. K., Goundani K., Verykios X. E. // J. Power Sources. 2004. Vol. 130. P. 30.
- 32 Comas J., Laborde M., Amadeo N. // J. Power Sources. 2004. Vol. 138. P. 61.
- 33 Polychronopoulou K., Fierro J. L. G., Efstatthiou A. M. // J. Catal. 2004. Vol. 228. P. 417.
- 34 Fukada S., Nakamura N., Monden J. // Int. J. Hydrogen Energy. 2004. Vol. 29. P. 619.
- 35 Rample T., Heinzel A., Vogel B. // J. Power Sources. 2000. Vol. 86. P. 536.
- 36 Fathi M., Holmen A., Schubert K. // Chem. Eng. J. 2004. Vol. 101. P. 93.
- 37 Ziok H. J. // 2nd Int. Workshop on In-Situ CO₂ Removal (ISCR). Germany, Stuttgart : 2005.
- 38 Nawaz M., Ruby J. // Proc. of the 26th Conf. on Coal Utilization and Fuel Systems. Coal Technology Association: Clearwater, FL, 2001.
- 39 Paterson N. A. // 2nd Int. Workshop on In-situ CO₂ Removal (ISCR). Germany, Stuttgart, 2005.
- 40 Lin S. Y., Suzuki Y., Hatano H., Harada M. // Energy Conv. Manage. 2002. Vol. 43. P. 1283.
- 41 Molberg J. C., Doctor R. D. // 20th Annual Pittsburgh Coal Conf. Pittsburgh, 2003.
- 42 Stocker J., Whysale M., Miller G. Q., / 30 Years of PSA Technology for Hydrogen Production. <http://www.uop.com/objects/30yrsPSATechHydPurif.pdf>.
- 43 Brown L. F. // Int. J. Hydrogen Energy. 2001. Vol. 26. P. 381.
- 44 Harold M. P., Nair B., Kolios G. // Chem. Eng. Sci. 2003. Vol. 58. P. 2551.
- 45 Лукьянов Б. Н. // Химия уст. разв. 2007. Т. 15, № 6. P. 625.
- 46 Lukyanov B. N., Andreev D. V., Parmon V. N. // Chem. Eng. J. 2009. Vol. 154, No. 1–3. P. 258.
- 47 Mayorga S. G., Hufton J. R., Sircar S., Gaffney T. R. // Phase I Final Report, DOE/GO/10059-T1, July 1997.
- 48 Lee K. B., Beaver M. G., Caram H. S., Sircar S. // Ind. Eng. Chem. Res. 2007. Vol. 46. P. 5003.
- 49 Lee K. B., Beaver M. G., Caram H. S., Sircar S. // Ind. Eng. Chem. Res. 2008. Vol. 47, No. 21. P. 8048.
- 50 А. с. СССР № 465897, 1974.
- 51 А. с. СССР № 111894, 1975.
- 52 Johnsen K., Ryu H. J., Grace J.R., Lim C.J. // Chem. Eng. Sci. 2006. Vol. 61. P. 1195.
- 53 Arstad B., Blom R., Bakken E., Dahl I., Jakobsen J. P., Røkke P. // Energy Proc. 2009. Vol. 1, No. 1. P. 715.
- 54 Hildenbrand N., Readmen J., Dahl I. M., Blom R. // Appl. Catal. A: Gen. 2006. Vol. 303. P. 131.
- 55 Johnsen K., Grace J. R., Elnashaie S. E. H., Kolbiensen L., Eriksen D. // Ind. Eng. Chem. Res. 2006. Vol. 45. P. 4133.
- 56 Elsner M., Dittrich C., Agar D. W. // Chem. Eng. Sci. 2002. Vol. 57. P. 1607.
- 57 Fayyaz B., Harale A., Park B.-G., Liu P. K. T., Sahimi M., Tsotsis T. // Ind. Eng. Chem. Res. 2005. Vol. 44. P. 9398.
- 58 Park B.-Gi, Tsotsis T. T. // Chem. Eng. Proc. 2004. Vol. 43. P. 1171.
- 59 Hwang S. // Korean J. Chem. Sci. 2001. Vol. 16. P. 775.
- 60 Lim S. Y., Park B.-Gi, Hung F., Sahimi M., Tsotsis T. T. // Chem. Eng. Sci. 2002. Vol. 57. P. 4933.
- 61 Park B.-Gi, Ravi-Kumar V. S., Tsotsis T. T. // Ind. Eng. Chem. Res. 1998. Vol. 37. P. 1276.
- 62 Nam S. W., Yoon S. P., Ha H. Y., Hong S., Maganyuk A. P. // Korean J. Chem. Sci. 2000. Vol. 17. P. 288.
- 63 Saracco G., Specchia V. // Catal. Rev.-Sci. Eng. 1994. Vol. 36. P. 305.
- 64 Sanchez J., Tsotsis T. T. Catalytic Membranes and Membrane Reactors. Weinheim: Wiley-VCH, 2002.
- 65 Xiu G. H., Li P., Rodrigues A. E. // Chem. Eng. Res. Des. 2004. Vol. 82. P. 192.

- 66 Xiu G. H., Li P., Rodrigues A. E. // Chem. Eng. J. (Amsterdam, Neth.) 2003. Vol. 95. P. 83.
- 67 Xiu G. H., Soares J. L., Rodrigues A. E. // AIChE J. 2002. Vol. 48. P. 817.
- 68 Xiu G. H., Li P., Rodrigues A. E. // Chem. Eng. Sci. 2002. Vol. 57. P. 3893.
- 69 Lee D. K., Baek I. H., Yoon W. L. // Chem. Eng. Sci. 2004. Vol. 59. P. 931.
- 70 Balasubramanian B., Ortiz L., Kaytakoglu S., Harrison D. P. // Chem. Eng. Sci. 1999. Vol. 54. P. 3543.
- 71 Ding H., Alpay E. // Chem. Eng. Sci. 2000. Vol. 55. P. 3461.
- 72 Ciora R.J., Fayyaz B., Liu P. K. T., Suwanmenthanond V., Mallada R., Sahimi M., Tsotsis T. T. // Chem. Eng. Sci. 2004. Vol. 59. P. 4957.
- 73 Harale A., Hwang H. T., Liu P. K. T., Sahimi M., Tsotsis T. T. // Chem. Eng. Sci. 2007. Vol. 62. P. 4126.
- 74 Lila M. M., Finn J. E. Carbon Dioxide Adsorption on 5A Zeolite Designed for CO₂ Removal in Spacecraft Cabins. / NASA/TM-1998-208752, 1998.
- 75 Hwang H. T., Harale A., Liu P. K. T., Sahimi M., Tsotsis T. T. // J. Membr. Sci. 2008. Vol. 315. P. 116.
- 76 Vlasenko V. M., Yuzefovich G. E., Rusov M. T. // Kinet. Catal. 1961. Vol. 2. P. 525.
- 77 Dew J. M., White R. R., Sliepecevitch C. M. // Ind. Eng. Chem. Res. 1955. Vol. 47. P. 140.
- 78 Brooks K. H., Hu J. L., Zhu H. Y., Kee R. J. // Chem. Eng. Sci. 2007. Vol. 62. P. 1161.
- 79 Aksaylu A. E., Akin A. N., Onsan Z. I., Trimm D. L. // Appl. Catal. A: Gen. 1996. Vol. 145. P. 185.
- 80 Marwood M., Doepper R., Renken A. // Appl. Catal. A: Gen. 1997. Vol. 151. P. 223.
- 81 Ohya H., Fun J., Kawamura H., Itih K., Ohashi H., Aihara M., Tanisho S., Negishi Y. // J. Membr. Sci. 1997. Vol. 131. P. 237.
- 82 Nishiguchi H., Fukunaga A., Miyashita Y., Ishihara T., Takita Y. // Stud. Surf. Sci. Catal. 1998. Vol. 114 (Adv. Chem. Convers. Mitigating Carbon Dioxide). P. 147.
- 83 Venugopal A., Kumar S. N., Ashok J., Prasad D. H., Kumari V. D., Prasad K. B. S., Subrahmanyam M. // Int. J. Hydrogen Energy. 2007. Vol. 32. P. 1782.
- 84 Jung J. U., Nam W., Yoon K. J., Han G. Y. // Korean J. Chem. Eng. 2007. Vol. 24. P. 674.